

カーネル法入門

5. カーネル法のその他の話題

福水健次

統計数理研究所／総合研究大学院大学



大阪大学大学院基礎工学研究科・集中講義

2014 September

- 効率的計算
低ランク近似の方法
- 構造化データ
非ベクトルデータに対するカーネル



カーネル法の計算効率化

グラム行列計算

- カーネル法の計算: グラム行列による線形代数演算
データ数のサイズの行列
 - 元の空間の次元が高くても計算量の問題は(あまり)生じない
 - データ数が大きいと計算量の問題が生じる
逆行列計算, 固有値計算 $O(n^3)$ in time

■ 計算効率化への一般的なアプローチ

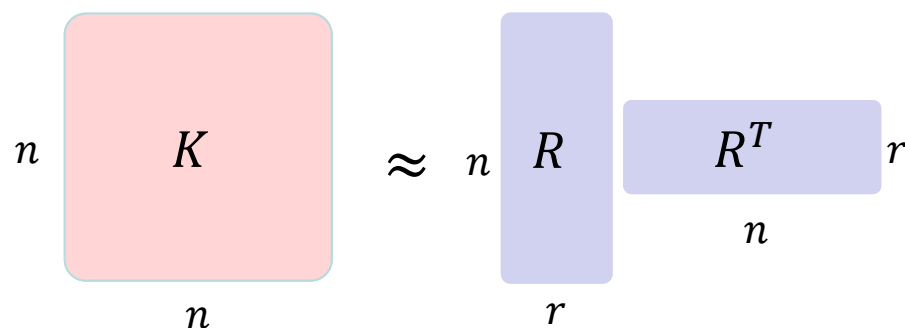
- 低ランク近似によるGram行列の近似
 - 不完全Cholesky分解
 - Nyström近似
- ランダムなカーネル展開
 - Random kitchen sink
- 少数データによる表現
 - データのランダムサンプリング
 - Core Vector Machine (Tsang et al 2005) Core set
 - Kernel herding (Chap 6で扱う)

上記とは別に、個々のアルゴリズムの効率化はさまざまに検討されている。

低ランク近似

– 低ランク近似

$$K \approx RR^T, \quad R: n \times r \text{ 行列 } (r \ll n)$$



c.f. 固有分解

$$K = U \begin{pmatrix} \lambda_1 & & 0 \\ & \lambda_2 & \\ 0 & & \ddots \end{pmatrix} U^T$$

– ランク r はあまり大きなくてよい.

典型的な例で, グラム行列の固有値の減衰は早いことが知られている. (Widom 1963, 1964; Bach & Jordan 2002).

■ 計算効率化の例

- カーネルリッジ回帰

$$f(x) = Y^T (K_X + \lambda I_n)^{-1} \mathbf{k}(x) \quad \text{time : } O(n^3)$$

低ランク近似: $K_X \approx RR^T$.

Woodburyの公式を用いると

$$\begin{aligned} Y^T (K_X + \lambda I_n)^{-1} \mathbf{k}(x) &\approx Y^T (RR^T + \lambda I_n)^{-1} \mathbf{k}(x) \\ &= \frac{1}{\lambda} \{Y^T \mathbf{k}(x) - Y^T R (R^T R + \lambda I_r)^{-1} R^T \mathbf{k}(x)\} \end{aligned}$$

$$\text{time : } O(r^2 n + r^3)$$

Woodburyの公式

定理5.1 Woodbury (Sherman–Morrison–Woodbury) の公式

$A: n \times n$ 可逆行列, $U: n \times r$ 行列, $V: r \times n$ 行列

$$(A + UV)^{-1} = A^{-1} - A^{-1}U(I + VA^{-1}U)^{-1}VA^{-1}.$$

証明) 直接計算.

特に $r = 1$ のとき,

$$(A + uv^T)^{-1} = A^{-1} - \frac{1}{1 + v^T A^{-1}u} A^{-1}uv^T A^{-1}.$$

復習: Cholesky分解

$A: n \times n$ 半正定値行列.

A のCholesky分解: $A = RR^T$

R : 下半三角行列

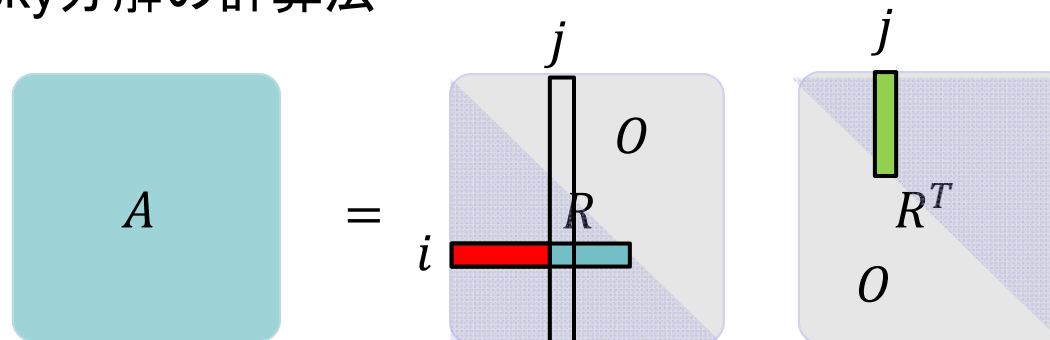
– Fact: $\text{rank}A = r$ のとき, ある置換行列 P があって,

$$PAP = RR^T, \quad R = \begin{bmatrix} R_{11} & 0 \\ R_{21} & 0 \end{bmatrix}$$

$R_{11}: r \times r$ 下半行列, 対角成分は正

– 「掃き出し法」に相当する.

– Cholesky分解の計算法



$1 \leq j \leq i \leq n$ のとき

$$A_{ij} = \sum_{k=1}^j R_{ik}R_{jk} = R_{ij}R_{jj} + \sum_{k=1}^{j-1} R_{ik}R_{jk}$$

したがって

$$R_{ij} = \frac{A_{ij} - \sum_{k=1}^{j-1} R_{ik}R_{jk}}{R_{jj}} \quad (j+1 \leq i \leq n)$$

R_{jj} を決めると, R_{ij} ($j+1 \leq i \leq n$) は R_{*k} ($k < j$) により決まる.

→ 列に関する逐次計算が可能

不完全Cholesky

- Cholesky分解を途中まで行う.
- 近似誤差の評価が可能: $\text{Tr}[A - RR^T] < \epsilon$

[アルゴリズム]

A : $n \times n$ 半正定値行列, ϵ : しきい値

1. [初期化] $i = 1$. $R := \text{Null}$, $A' = A$, $P = I_n$. $R_{jj} = A_{jj}$ ($1 \leq j \leq n$).
2. If $\sum_{j=i}^n R_{jj} < \epsilon$, END. Otherwise, go to 3.

3. $j^* := \arg \max_{j=i, \dots, n} R_{jj}$

4. [置換] $A'_{[ij^*],:} = A'_{[j^*i],:}$, $A'_{:, [ij^*]} = A'_{:, [j^*i]}$, $R_{[ij^*], 1:i} = R_{[j^*i], 1:i}$,
 $P_{ii} = P_{j^*j^*} = 0$, $P_{ij^*} = P_{j^*i} = 0$.

5. $R_{ii} = \sqrt{A'_{ii}}$

6. [第*i*列の計算]

$$R_{i+1:n,i} = \frac{A'_{i+1:n,i} - \sum_{k=1}^{j-1} R_{i+1:n,k} R_{ik}}{R_{jj}}$$

7. [対角成分の更新] $R_{jj} := A'_{jj} - \sum_{k=1}^i R_{jk}^2$ ($i + 1 \leq j \leq n$)

8. $i := i + 1$ and go to 2.

Output: $n \times (i - 1)$ 行列 R , 置換行列 P

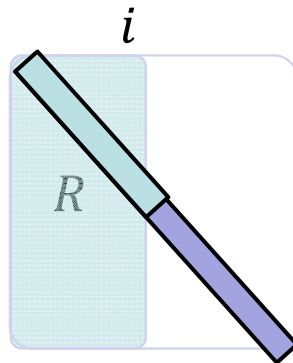
■ 計算量

R の列数が r とすると,

- 時間: ステップ6で, $O(ni)$. 合計 $O(nr^2)$.
- メモリー: $O(nr)$ (注: R_{jj} は別配列にしておく)
- 第 i 列の計算には, A の第 i 列と対角成分しか使っていない.
→ Gram行列を最初にすべて計算する必要はない.
使っているGram行列の要素数も $O(nr)$.

■ 近似誤差

- R_{jj} ($i + 1 \leq j \leq n$) に $A - R^i R^{iT}$ の対角成分を格納(ステップ7).



Nyström近似

- Nyström近似は, もともと積分作用素の固有関数・固有値の近似手法として知られていた.
- Williams & Seeger (2001) がGram行列近似に応用した.
- 固有値問題: k は正定値カーネル

$$\int k(y, x)\phi(x)dP(x) = \lambda\phi(y), \quad \int \phi(x)^2dP(x) = 1$$

固有値 $\lambda_1 \geq \lambda_2 \geq \dots \geq 0$, 対応する固有ベクトル ϕ_1, ϕ_2, \dots

- $X_1, X_2, \dots, X_m \sim P$, i.i.d. による近似

$$\frac{1}{m} \sum_i^m k(y, X_i)\phi(X_i) \approx \lambda\phi(y), \quad \frac{1}{m} \sum_i^m \phi(X_i)^2 \approx 1.$$

$y = X_j$ とおくと

$$\frac{1}{m} \sum_i^m K_{ij}^{(m)} \phi(X_i) \approx \lambda \phi(X_j), \quad \frac{1}{m} \sum_i^m \phi(X_i)^2 = 1.$$

$K^{(m)}$ の固有分解: $K^{(m)} = U^{(m)} \Lambda^{(m)} U^{(m)T}$, $\Lambda^{(m)} = \text{Diag}(\lambda_1^{(m)}, \dots, \lambda_m^{(m)})$

近似:

$$\phi_i(X_j) \approx \sqrt{m} U_{ji}^{(m)}, \quad \lambda_i \approx \frac{\lambda_i^{(m)}}{m}$$

任意の y に対し,

$$\phi_i(y) \approx \frac{\sqrt{m}}{\lambda_i^{(m)}} \sum_{j=1}^m k(y, X_j) U_{ji}^{(m)} \quad \dots (*)$$

■ Gram行列の近似

- $P = \frac{1}{n} \sum_{i=1}^n \delta_{X_i}$ X_1, \dots, X_n : オリジナルのデータ
- X_1, \dots, X_m : P からの一様サンプル(簡単のため, 添字ははじめの m 個)

$m = n$ のときが厳密解.

$$\phi_i(X_j) = \sqrt{n} U_{ji}^{(n)}, \quad \lambda_i = \frac{\lambda_i^{(n)}}{n}$$

欲しいのは, $U_{ji}^{(n)}$, $\lambda_i^{(n)}$ の近似. (*)より,

$$U_{ji}^{(n)} \approx \sqrt{\frac{m}{n}} \frac{1}{\lambda_i^{(m)}} \sum_{a=1}^m K_{ja} U_{ai}^{(m)} \equiv \tilde{U}_{ji}^{(n)} \quad (1 \leq j \leq n), \quad \lambda_i^{(n)} \approx \frac{n}{m} \lambda_i^{(m)} \equiv \tilde{\lambda}_i^{(n)}$$

さらに, 大きい p 個の固有値のみを使うと

$$K \approx \sum_{i=1}^p \tilde{\lambda}_i^{(n)} \tilde{U}_i^{(n)} \tilde{U}_i^{(n)T} \equiv \tilde{K}_p \quad \text{Nyström近似}$$

■ Nystrom近似の演算量

- $K^{(m)}$ の固有分解: $O(m^3)$
- $\tilde{U}_i^{(n)}$ の計算: 各 i につき $O(nm)$

トータル $O(m^3 + pnm)$

Random Kitchen Sink

- 非常に大きなデータ(10万~)などでも使うことを想定

- 復習: Bochnerの定理

\mathbf{R}^m 上連続で平行移動不変なカーネル

$$k(x, y) = \int \exp(\sqrt{-1}\omega^T(x - y)) d\Lambda(\omega)$$

Λ は非負測度なので、適当に正数倍することにより、確率測度 $\int d\Lambda(\omega) = 1$ に正規化しておく。

- Random Kitchen Sink (Rahimi & Recht 2008)

周波数領域でサンプリング

$$\omega_1, \dots, \omega_L \sim \Lambda, \text{ i.i.d.}$$

$$k(x, y) \approx \frac{1}{L} \sum_{\ell=1}^L \exp(\sqrt{-1}\omega_\ell^T(x - y))$$

$$k(x, y) \approx \frac{1}{L} \sum_{\ell=1}^L \exp(\sqrt{-1} \omega_{\ell}^T (x - y))$$

カーネルが実数値とすると,

$$\begin{aligned} k(x, y) &\approx \frac{1}{L} \sum_{\ell=1}^L \cos(\omega_{\ell}^T (x - y)) \\ &= \frac{1}{L} \sum_{\ell=1}^L \{ \cos(\omega_{\ell}^T x) \cos(\omega_{\ell}^T y) + \sin(\omega_{\ell}^T x) \sin(\omega_{\ell}^T y) \} \end{aligned}$$

$$Z(x) := \frac{1}{\sqrt{L}} (\cos(\omega_1^T x), \dots, \cos(\omega_L^T x), \sin(\omega_1^T x), \dots, \sin(\omega_L^T x))^T$$

とにおいて

$$k(x, y) \approx Z^T(x)Z(y)$$

- $Z(x)$ を基底関数として, リッジ回帰などを行う \approx カーネル法
($L \ll n$ の状況. グラム行列で表現しない)

■ 比較

- Rahimi & Recht 2008 では, Core Vector Machine よりもよい結果を得ている.

Dataset	Fourier+LS	Binning+LS	CVM	Exact SVM
CPU regression 6500 instances 21 dims	3.6% 20 secs $D = 300$	5.3% 3 mins $P = 350$	5.5% 51 secs	11% 31 secs ASVM
Census regression 18,000 instances 119 dims	5% 36 secs $D = 500$	7.5% 19 mins $P = 30$	8.8% 7.5 mins	9% 13 mins SVMTorch
Adult classification 32,000 instances 123 dims	14.9% 9 secs $D = 500$	15.3% 1.5 mins $P = 30$	14.8% 73 mins	15.1% 7 mins SVM ^{light}
Forest Cover classification 522,000 instances 54 dims	11.6% 71 mins $D = 5000$	2.2% 25 mins $P = 50$	2.3% 7.5 hrs	2.2% 44 hrs libSVM
KDDCUP99 (see footnote) classification 4,900,000 instances 127 dims	7.3% 1.5 min $D = 50$	7.3% 35 mins $P = 10$	6.2% (18%) 1.4 secs (20 secs)	8.3% < 1 s SVM+sampling

- Random Kitchen sinkは, データを使わずに少数の基底をランダムに選ぶ c.f. グラム行列の低ランク近似.
- Tsang et al 2005 では, CVMは不完全Choleskyよりも少ない演算量で同等の識別/回帰の性能を得ている.

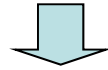
構造化データ

複雑な構造を持つデータ(ストリング, ツリー, グラフ)
に対して定義されるカーネルとその計算法を紹介する

構造化データの処理

■ カーネルの利用

正定値カーネル $k(x, y)$: x, y はベクトルデータでなくてよい



- どんなデータでもOK
 - 長さの違うシンボル列 = スtring
 - ツリー構造
 - グラフ表現されたデータ
- カーネル法 → 非ベクトルデータのベクトル化
カーネルが定義されると, SVM, カーネルPCA, などの利用が可能
- 計算すべきもの = データに対するグラム行列 $k(x_i, x_j)$

ストリング

■ ストリング

- アルファベット Σ : 有限集合
- ストリング: Σ の要素の有限長の列
 - 例) $\Sigma = \{ a, b, c, d, \dots, z \}$
ストリング cat, head, computer, xyydyaa, ...

□ Σ^p : 長さ p のストリング全体

□ Σ^* : 任意の長さのストリング全体 $\Sigma^* = \bigcup_{p=0}^{\infty} \Sigma^p$

注) $\Sigma^0 = \{\varepsilon\}$: 空ストリング

- 記号法

$s: s_1 s_2 \dots s_n$ ストリングに対し

$|s| \dots$ ストリング s の長さ = n

$s[i:j] \dots s_i \dots s_j$ という s の部分列

s, t に対し結合 $st = s_1 s_2 \dots s_n t_1 t_2 \dots t_m$

ストリングカーネル

■ ストリングカーネル

- Σ^* 上の定義された正定値カーネル …… 2つのストリング s, t の類似度
 - 一致する部分列を数え上げるタイプが多い
 - 効率的な計算の工夫が重要 …… 再帰式(漸化式)など
Dynamical Programming (DP)

■ 典型的な応用先

- 自然言語処理
 - 文字列: $\Sigma = \{a, b, c, \dots, z\}$
 - 単語列: $\Sigma = \{\text{単語全体}\}$
- ゲノム解析
 - ゲノム: $\Sigma = \{A, T, G, C\}$
 - タンパク質: $\Sigma = \{\text{アミノ酸}\} \approx 20 \text{種類}$

ストリングカーネルの応用

■ ゲノム配列のアラインメント

■ タンパク質の構造予測

- アミノ酸配列: $\Sigma = 20$ 種のアミノ酸

7LES_DROME	LKLLRFLGSGAFGEVYEGQLKTE...DSEEPQRVAIKSLRK.....
ABL1_CAEEL	IIMHNKLGGGQYGDVYEGYWK.....RHDCTIAVKALK.....
BFR2_HUMAN	LTLGKPLGEGCFGQVMAEAVGIDK.DKPKEAVTVAVKMLKDD.....A
TRKA_HUMAN	IVLKWELGEGAFGKVFLAECHNLL...PEQDKMLVAVKALK.....

配列 → 立体構造のクラスを予測

- データベース

SCOP (Structural Classification of Proteins) など

p-スペクトラムカーネル

- 長さ p の部分列の出現回数を特徴ベクトルとする

$$|\Sigma| = m, \quad u \in \Sigma^p$$

$$\phi_u^p(s) = |\{(w_1, w_2) \in \Sigma^* \times \Sigma^* \mid s = w_1 u w_2\}| \quad \cdots \quad s \text{ 中の } u \text{ の出現回数}$$

$$\Phi : \Sigma^* \rightarrow H \cong \mathbf{R}^{m^p}, \quad \Phi^p(s) = (\phi_u^p(s))_{u \in \Sigma^p}$$

特徴空間: 長さ p の列全体 $\cdots m^p$ 次元

$$K_p(s, t) = \sum_{u \in \Sigma^p} \phi_u^p(s) \phi_u^p(t) = \langle \Phi^p(s), \Phi^p(t) \rangle_H$$

s = "statistics" t = "pastapistan"

3-スペクトラム

s: sta, tat, ati, tis, ist, sti, tic, ics

t: pas, ast, sta, tap, api, pis, ist, sta, tan

	sta	tat	ati	tis	ist	sti	tic	ics	pas	ast	tap	api	pis	tan
$\Phi(s)$	1	1	1	1	1	1	1	1	0	0	0	0	0	0
$\Phi(t)$	2	0	0	0	1	0	0	0	1	1	1	1	1	1

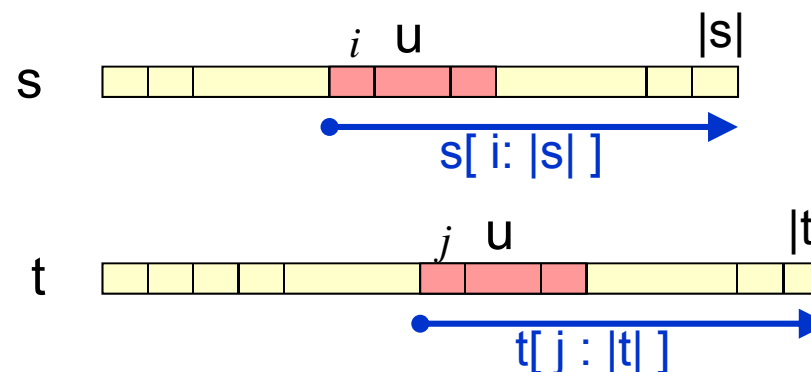
$$K_3(s, t) = 1 \cdot 2 + 1 \cdot 1 = 3$$

■ p-スペクトラムカーネルの計算法

$$K_p(s, t) = \sum_{u \in \Sigma^p} \phi_u^p(s) \phi_u^p(t) = \langle \Phi^p(s), \Phi^p(t) \rangle_H$$

– 直接的な計算

部分列 u を, 途中から始まる
部分列 **suffix** (接尾辞) の
先頭 (prefix) と思う



$$h_u^p(s, t) = \begin{cases} 1 & s \text{ の } p\text{-prefix} = t \text{ の } p\text{-prefix} \\ 0 & s \text{ の } p\text{-prefix} \neq t \text{ の } p\text{-prefix} \end{cases}$$



$$K_p(s, t) = \sum_{i=1}^{|s|-p+1} \sum_{j=1}^{|t|-p+1} h_p(s[i:i+p-1], t[j:j+p-1])$$

$$\text{計算量} = O(p |s| |t|)$$

■ p-スペクトラムカーネルの計算法(II)

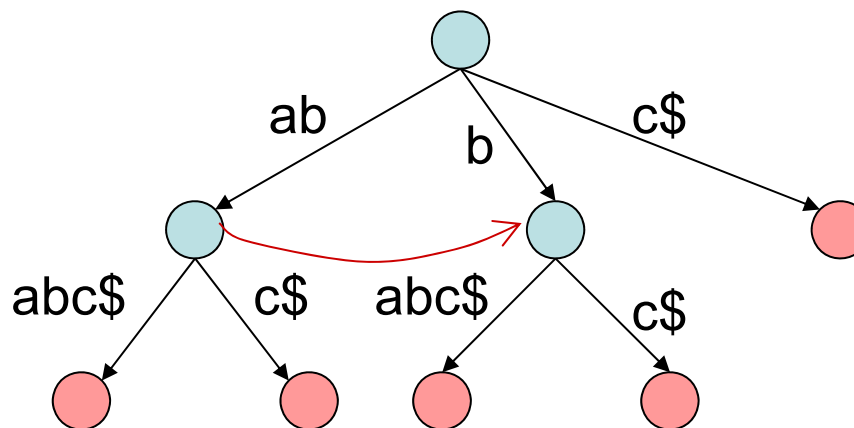
実は, $|s|+|t|$ に対して線形時間 $O(p(|s|+|t|))$ で計算する方法がある

– Suffix Tree

stringのすべての suffix を木構造で効率的に表すアルゴリズム

例) ababc

ababc
babc
abc
bc
c



– 詳しくは Vishwanathan & Smola 03, Gusfield 97.

他のストリングカーネル

■ より複雑な部分列を用いる

- All-subsequence kernel: すべての部分列を比べる
- Gap weighted kernel: ギャップを許す
- Mismatch kernel: Leslie et al. (2003)

計算量は大きくなる

■ 確率的な考えによるもの

- Fisher kernel: Jaakkola & Haussler (1999) HMMでモデル化し、分布間のdivergenceをはかる

Marginalized kernel

■ 確率モデルにもとづくカーネル設計

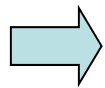
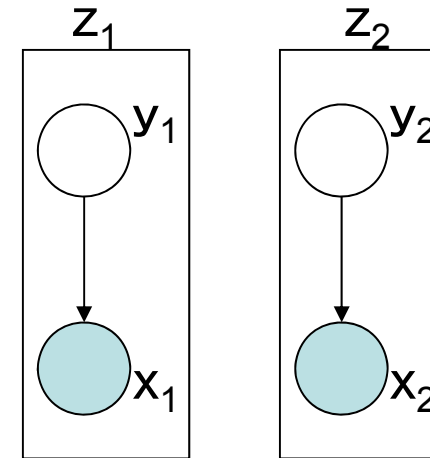
$$z = (x, y)$$

x : 観測される変数

y : 観測されない隠れ変数
(データを生成する構造)

$p(x, y)$: (x, y) に対する確率モデル

$k_z(z_1, z_2)$: z に対する正定値カーネル



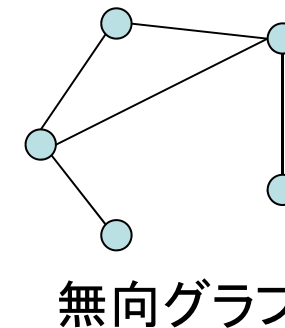
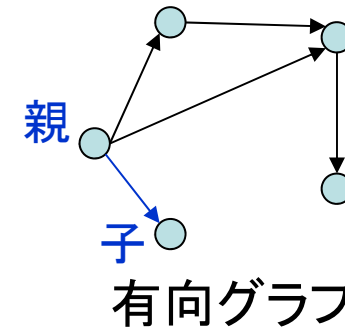
$$k(x_1, x_2) = \sum_{y_1} \sum_{y_2} p(y_1 | x_1) p(y_2 | x_2) k_z((x_1, y_1), (x_2, y_2))$$

y_1, y_2 の状態全体

グラフとツリー

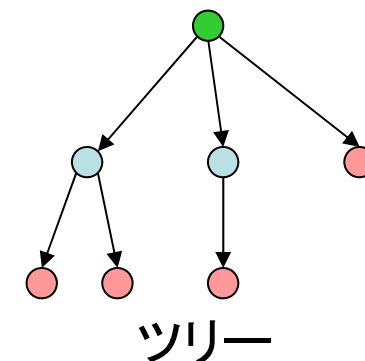
■ グラフ

- V : **ノード**(node, vertex) ... 有限集合
- E : **エッジ**(edge) ... $V \times V$ の部分集合
- **有向グラフ**: E の向きを考えたもの
 - $(a, b) \in E$ のとき, a から b へ矢印を描く
 - ノード a の**親**: $(b, a) \in E$ なる b
 - ノード a の**子**: $(a, b) \in E$ なる b
- **無向グラフ**: E の向きを忘れたもの



■ ツリー (directed rooted tree)

- 連結した有向グラフで, 親の無い**ルート**ノードが存在し, 他の各ノードは親を1個だけ持つもの
- **リーフ**: ツリーの中で子の無いノード



ツリーカーネル

- ツリー全体の集合上に定義された正定値カーネル

Φ : ツリー $T \mapsto \Phi(T) \in H$ 特徴空間(ベクトル空間)

- 代表的な例

サブツリーの一致によりカーネルを定義する

- All-subtrees kernel

$$k(T_1, T_2) = \sum_{S: \text{ツリー}} \phi_S(T_1) \phi_S(T_2)$$

$$\phi_S(T) = \begin{cases} 1 & T \text{ が } S \text{ をサブツリーとして含む} \\ 0 & T \text{ が } S \text{ をサブツリーとして含まない} \end{cases}$$

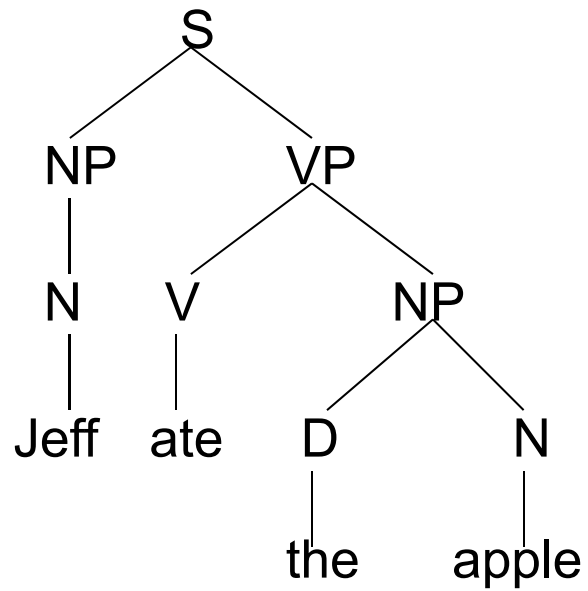
- 再帰式で計算可能. 計算量 = $O(|T_1| |T_2|)$

- 詳細は Collins & Duffy (2002, NIPS)などを参照

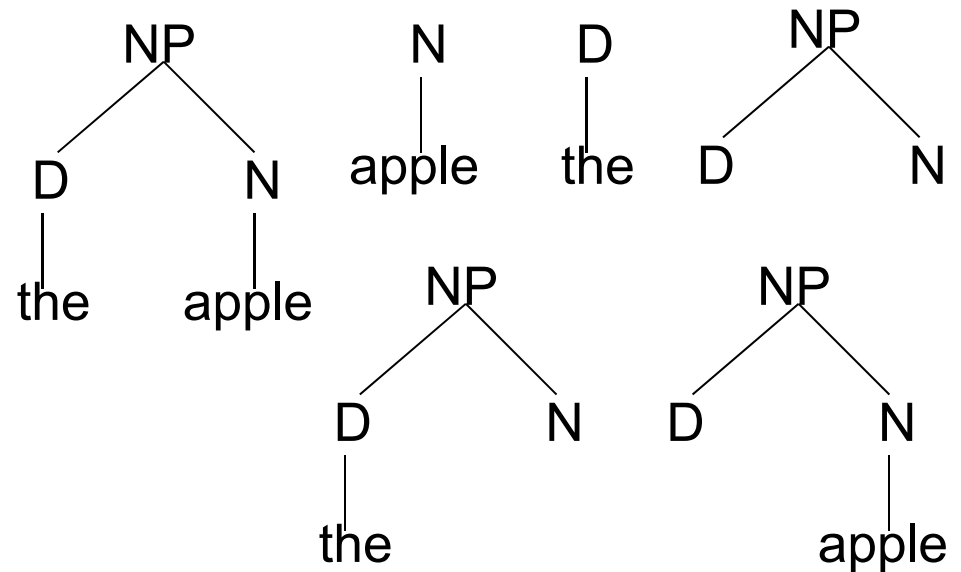
– 自然言語処理への応用

構文解析

Jeff ate the apple.



サブツリーの例



グラフカーネル

■ グラフ上に定義された正定値カーネル

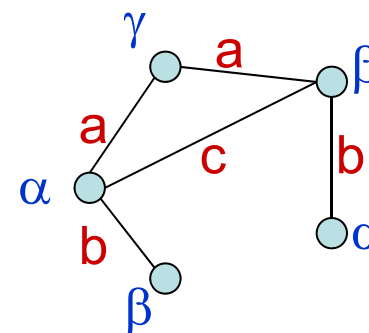
- グラフとグラフの類似度を測る.
- ラベル付グラフ
ノードとエッジにラベルがついている.

L: ラベルの集合 (有限集合)

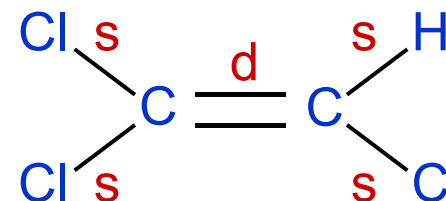
ラベル付グラフ $G = (V, E, h)$

V: ノード, E: エッジ,

$h: V \cup E \rightarrow L$ ラベル付けの写像



- 応用
 - 化合物の毒性予測
 - 自然言語処理

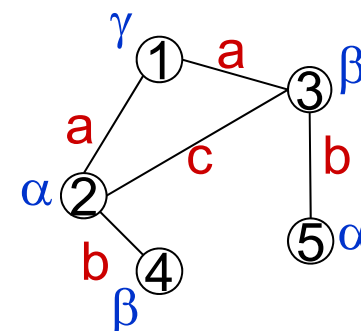


■ Marginalized graph kernel

– 系列のラベル

$s: v_1 v_2 v_3 v_5 v_3 \dots$

$$\begin{aligned} \rightarrow H(s) &= h(v_1)h(e_{12})h(v_2)h(e_{23})h(v_3)h(v_{35})h(v_5)\dots \\ &= \gamma a \alpha c \beta b \alpha b \beta \dots \end{aligned}$$



– 系列の確率 – ランダムウォーク

• ノード間の遷移確率

$$p(v_j | v_i) = \begin{cases} 1/(i \text{ の隣接ノードの数}) & (i, j) \in E \\ 0 & (i, j) \notin E \end{cases}$$

• 系列の確率

$$p(s) = p(v_1)p(v_2 | v_1)p(v_3 | v_2)p(v_5 | v_3)p(v_5 | v_3)\Lambda$$

グラフ上のランダムウォークにより生じる系列の確率

- ラベル系列に対するカーネル

$$K_L : L^* \times L^*, \quad K_L(H_1, H_2) = \begin{cases} 1 & (H_1 = H_2) \\ 0 & (H_1 \neq H_2) \end{cases}$$

- Marginalized graph kernel

$$G_1 = (V_1, E_1, h_1), \quad G_2 = (V_2, E_2, h_2)$$

$$K(G_1, G_2) = \sum_{\substack{s \in V_1^* \\ t \in V_2^*}} p_1(s) p_2(t) K_L(H_1(s), H_2(t))$$

H_1, H_2 : それぞれ h_1, h_2 から決まるラベル関数

V_1^*, V_2^* : それぞれ V_1, V_2 をアルファベットとする系列全体

- ランダムウォークにおいて、同じパスが生じる確率
 - Marginalized kernel のひとつとみなせる
- 詳しくは, Kashima et al. (2003), Mahé, et al. (2004)

構造化データ上のカーネルの問題点

■ 計算量

- $k(x,y)$ の計算にかかる時間
 $O(|s| |t|)$ でも, サイズが大きくなると困難
- データ数
グラム行列の計算は (データ数)² のオーダー
- SCOPデータベース: 配列の長さ~数百, 配列データの数~数千

References

福水 「カーネル法入門」 3章 朝倉書店 2010

Williams, C. K. I. and M. Seeger. (2001) Using the Nyström method to speed up kernel machines. *Advances in Neural Information Processing Systems*, 13:682–688.

Fine, S. and K. Scheinberg. (2001) Efficient SVM Training Using Low-Rank Kernel Representations. *Journal of Machine Learning Research*, 2:243-264.

Widom, H. (1963) Asymptotic behavior of the eigenvalues of certain integral equations. *Transactions of the American Mathematical Society*, 109:278{295, 1963.

Widom, H. (1964) Asymptotic behavior of the eigenvalues of certain integral equations II. *Archive for Rational Mechanics and Analysis*, 17:215{229, 1964.

Rahimi A. and Recht B. (2008) Random Features for Large-Scale Kernel Machines. *Advances in Neural Information Processing Systems* 20, 1177-1184.

Tsang, I.W., J.T. Kwok, and Pak-Ming Cheung (2005) Core Vector Machines: Fast SVM Training on Very Large Data Sets. *Journal of Machine Learning Research* 6 363–392.

- Lodhi, H., C. Saunders, J. Shawe-Taylor, N. Cristianini, C. Watkins. (2002) Text Classification using String Kernels. *J. Machine Learning Research*, 2 (Feb): 419-444.
- Leslie, C., E. Eskin, A. Cohen, J. Weston and W. S. Noble. (2003) Mismatch string kernels for SVM protein classification. *Advances in Neural Information Processing Systems* 15, pp. 1441-1448.
- Rousu, J., and J. Shawe-Taylor. (2004) Efficient computation of gap-weighted string kernels on large alphabets. *Proc. PASCAL Workshop Learning Methods for Text Understanding and Mining*.
- Dan Gusfield. *Algorithms on Strings, Trees, and Sequences*. Cambridge Univ. Press. 1997.
- Jaakkola, T.S. and D. Haussler. (1999) Exploiting generative models in discriminative classifiers. *Advances in neural information processing systems* 11. pp.487-493.
- Collins, M. & N. Duffy. (2002) Convolution Kernels for Natural Language. *Advances in Neural Information Processing Systems* 14.
- Tsuda, K., T. Kin, and K. Asai. (2002) Marginalized kernels for biological sequences. *Bioinformatics*, 18. S268-S275.
- Kashima, H., K. Tsuda and A. Inokuchi. (2003) Marginalized Kernels Between Labeled Graphs. *Proc. 20th Intern. Conf. Machine Learning (ICML2003)*.
- Mahé, P., N. Ueda, T. Akutsu, J.-L. Perret and J.-P. Vert. (2004) Extensions of marginalized graph kernels. *Proc. 21th Intern. Conf. Machine Learning (ICML 2004)*, p.552-559.
- Schlkopf, B., K. Tsuda, J-P. Vert (Editor) *Kernel Methods in Computational Biology*. Bradford Books. 2004.